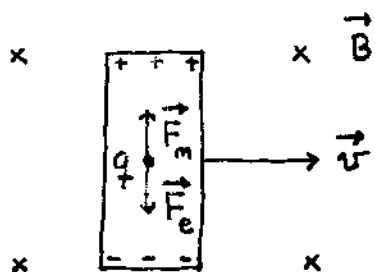


(A8 = 24.9)

12-02-03 Hall-effekten (E. Hall, 1879, student ved Johns Hopkins University)

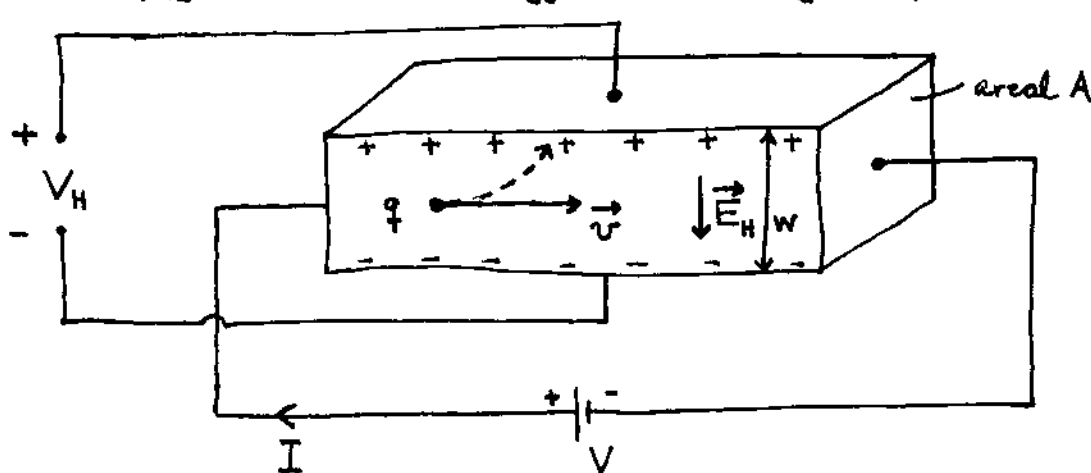
Fra i høst: Leder i bevegelse i magnetfelt



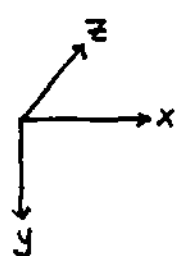
$$\begin{aligned} \text{Likverket når } \vec{F}_e + \vec{F}_m &= 0 \\ \Rightarrow qE &= qvB \\ \Rightarrow E &= vB \end{aligned}$$

Tilsvarende

(Samme) fysikk nå: Strom gjennom rektangulær plate



$$\vec{B} = B\hat{z}$$

Anta  $q > 0$ .

$$\vec{F}_m = q\vec{v} \times \vec{B} = qvB(\hat{x} \times \hat{z}) = -qvB\hat{y}$$

$\Rightarrow$  overskudd av positiv ledning øverst, negativ ledning nedest

$\Rightarrow$  induert elektrisk felt  $\vec{E}_H$  rettet nedover

$$\text{Likverkt når } \vec{F}_m + q\vec{E}_H = 0 \Rightarrow \vec{E}_H = vB\hat{y} \quad (\text{"Hall-feltet"})$$

Målt spenning på tvers av platen:

$$V_H = E_H \cdot w = vBw \quad (\text{Hall-spenningen})$$

Uttrykker driftshastigheten  $v$  ved strømtettheten  $j$ :

$$j = I/A = \frac{1}{A} \Delta Q / \Delta t$$

Tetthet av ledningsbærere:  $n$

$\Rightarrow$  Ladning (mobil!) i volum  $A \cdot \Delta x : \Delta Q = n \cdot A \cdot \Delta x \cdot q$

$$\Rightarrow j = \frac{1}{A} \frac{n A \Delta x q}{\Delta t} = n q v$$

$$\Rightarrow v = j/nq$$

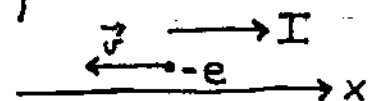
Dermed:  $V_H = \frac{1}{nq} j B w$   $(E_H = \frac{1}{nq} j B)$

$\Rightarrow$  Måling av  $V_H$  gir tettheten av mobile ladninger  $n$

$(R_H = 1/nq = \text{Hall-konstanten})$

Hva hvis  $q < 0$ ? (Elektroner:  $q = -e$ )

~~$\vec{v} = -v \hat{x}$~~ ,  $q = -e$



$$\Rightarrow \vec{F}_m = q \vec{v} \times \vec{B} = evB(\hat{x} \times \hat{z}) = -evB\hat{y}$$

$\Rightarrow$  overstundd av negativ ladning overst

$\Rightarrow E_H$  rettet oppover

$\Rightarrow$  motsett fortsgn på  $V_H$

$\Rightarrow$  Måling av  $V_H$  gir også fortegnet på de mobile ladningene

$$q > 0 ? ! ?$$

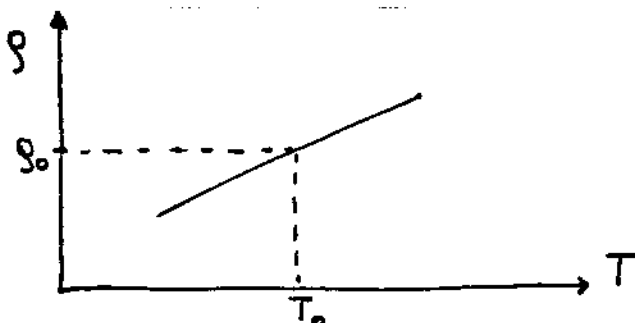
(atomnr.  $Z$ )

Vi vet: Platen består av atomer som igjen består av atomkjerner med positiv ladning  $(+Ze)$  og  $\leftarrow Z$  elektroner, hvor med negativ ladning  $-e$ . I et fest stoff sitter atomkjernene (og de innerste elektronene) i feste posisjoner (typisk ordnet struktur, gitter). Kun de ytterste elektronene (typisk 1 eller 2 pr atom) kan være mobile i det faste stoffet.

Dermed: Hva/daן forkjere  $\rho > 0$  i et Hall-forsøk?

Resistivitetens temperaturavhengighet (LHL 21.2)

Elektrisk ledar (metall):  $\rho(T) = \rho_0 \{ 1 + \alpha(T - T_0) \}$

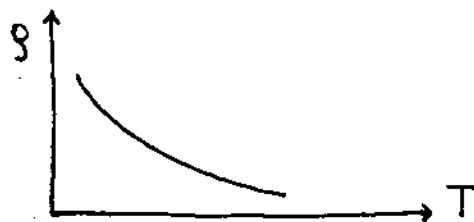


$T_0$ : referansetemp.  
(feks. 300 K)

Naturlig forklaring:

Økende  $T \Rightarrow$  kraftigere gittervibrasjoner  $\Rightarrow$  hyppigere kollisjoner mellom mobile elektroner og gitteret  $\Rightarrow$  redusert driftshastighet  $\Rightarrow$  høyere  $\rho$

Hårdledere (Si, Ge):



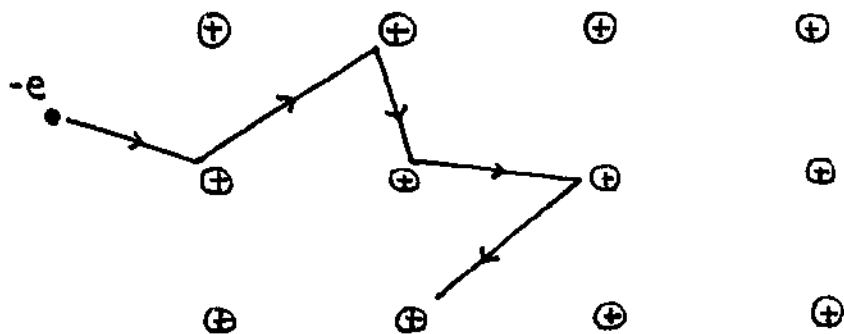
Hva/daן forklare redusert  $\rho$  for økende  $T$ ?

## Elektroner i faste stoffer

Hittil: Klassisk modell; "fri-elektron-gass"  
(P. Drude, ca 1900)

I metall: Hvert atom avgir 1 eller flere elektroner til en elektrongass med tetthet  $n$ .

Fri bevegelse av disse elektronene, men kollisjoner med iongitteret.



Beregner konduktiviteten  $\sigma$ :

ytre elektrisk felt:  $\vec{E}$

hastighet etter siste kollisjon:  $\vec{v}_0$  (ved  $t=0$ )

$$\Rightarrow \vec{v}(t) = \vec{v}_0 - \frac{e\vec{E}}{m} t$$

Etter kollisjon: tilfeldig fordelt retning på  $\vec{v}_0$   $\Rightarrow$   
midlet over tid:  $\langle \vec{v}_0 \rangle = 0$

$$\Rightarrow \text{Driftshastighet: } \langle \vec{v} \rangle = - \frac{e\vec{E}}{m} \tau$$

med  $\tau$  = midlere tid mellom kollisjoner

Stromstetthet:  $\vec{j} = -ne \langle \vec{v} \rangle = \frac{ne^2 \tau}{m} \vec{E}$

Pr def:  $\vec{j} = \sigma \vec{E}$  (Ohms lov)

$$\Rightarrow \boxed{\sigma = \frac{ne^2 \tau}{m}}$$

Elektrisk ledningsevne, klassisk fri-elektron-gass.

Denne modellen kan (bl. a.) ikke forklare

\* positiv Hall-konstant  $R_H = \frac{1}{nq}$   
(dvs positive ladningsbarere)

\* økt resistivitet med stigende temperatur  
for endel materialer (Si, Ge)

Hit 12-02-03)

19-02-03 To åpenbare mangler i ~~klassisk~~ fri-elektron-gass modell:

\* trenger en kantmekanisk beskrivelse (ikke "klassisk")

\* må ta hensyn til at elektronene beveger seg  
i et periodisk potensial (ikke "frie elektroner", dvs  
pga ionegitteret konstant potensial)

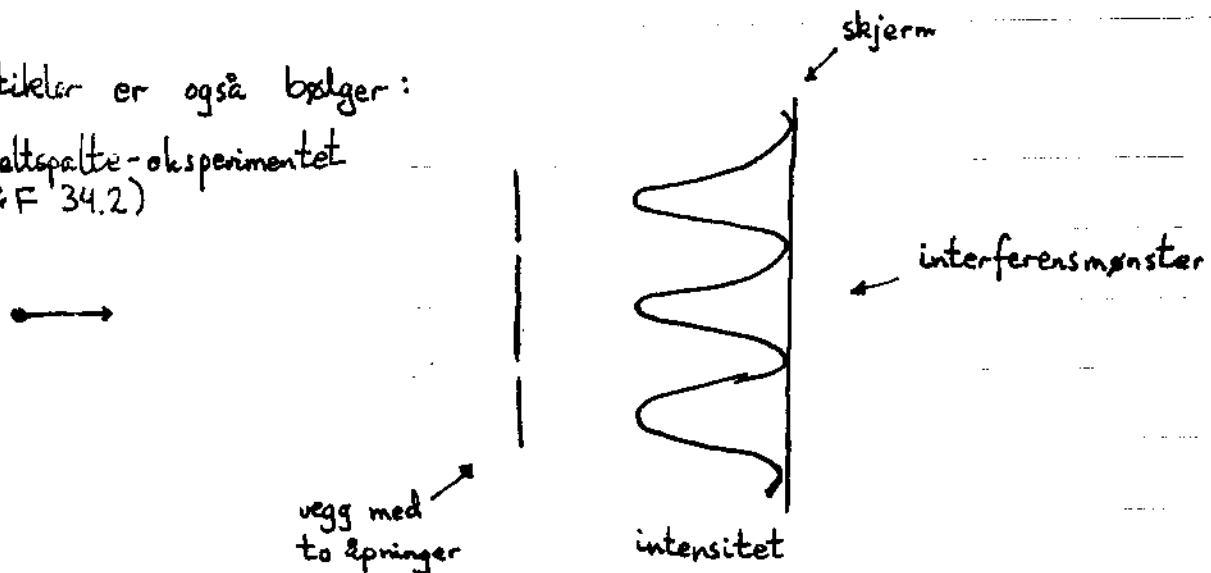
Introduserer disse to effektene, én om gangen!

Kvantmekanikk

("Bølgemekanikk")

[A&amp;F, 36-38]

Partikler er også bølger:

Dobbeltpalte-eksperimentet  
(A&F 34.2)

Lys (fotoner) : T. Young ca 1800

Elektroner : C. Jönsson 1961

A. Tonomura et al 1989 (ett og ett elektron !)

Atomer : O. Camal et al 1991 (He-atomer)

D.W. Keith et al 1991 (Na-atomer)

Molekyler : M. Arndt et al 1999 (C<sub>60</sub>, C<sub>70</sub> !)

Tonomuras eksperiment: (American Journal of Physics 57, 117-120, 1989)

$$\text{Strømstyrke} \approx 1.6 \cdot 10^{-16} \text{ A}$$

$$\Rightarrow \text{elektron-rate} = \frac{1.6 \cdot 10^{-16} \text{ C/s}}{1.6 \cdot 10^{-19} \text{ C}} = 1000 \text{ pr sek.}$$

$$\text{Elektron-hastighet} : v \approx \frac{1}{2} c = 1.5 \cdot 10^8 \text{ m/s}$$

$$\text{Veilengde fra elektronkilde til skjerm} : z = 1.5 \text{ m}$$

$$\Rightarrow \text{Tid brukt} : t = \frac{z}{v} = 10^{-8} \text{ s}$$

$$\text{Midlere tid mellom to elektroner} : 10^{-3} \text{ s}$$

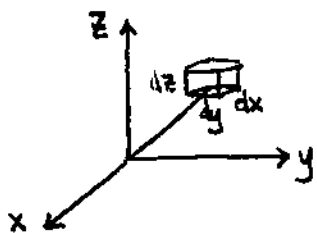
Konklusjon: Elektronet干涉erer med seg selv!

Elektronet er både partikkel og bølge!

Beskriver elektronets tilstand med en bolgefunktjon  $\Psi(\vec{r})$

Fysisk betydning av  $\Psi$ :

$|\Psi(x,y,z)|^2 dx dy dz$  = sannsynlighet for at elektronet befinner seg i volumelementet  $(x, x+dx; y, y+dy; z, z+dz)$



Dvs:  $|\Psi(x,y,z)|^2$  = sannsynlighetstettheten ved  $(x, y, z)$

Klassisk mekanikk:  $E_k + E_p = E$

med  $E_k = \frac{1}{2}mv^2 = \frac{\vec{p}^2}{2m}$  = kinetisk energi ( $\vec{p} = m\vec{v}$ )  
 $E_p$  = potensiell energi  
 $E$  = total energi

Kvantemekanikk:

$\vec{p}$  erstattes av operator:  $\vec{p} \rightarrow -i\hbar\nabla$

$$\nabla = \hat{x}\frac{\partial}{\partial x} + \hat{y}\frac{\partial}{\partial y} + \hat{z}\frac{\partial}{\partial z}$$

$$\hbar = \hbar/2\pi = 1.05 \cdot 10^{-34} \text{ Js} = \text{Plancks konstant}$$

Andre fysiske størrelser som avhenger av  $\vec{p}$  blir også

operatorer ved å la  $\vec{p} \rightarrow -i\hbar\nabla$ :

$$E_k = \frac{\vec{p}^2}{2m} \rightarrow (-i\hbar\nabla)^2 / 2m = -\frac{\hbar^2}{2m} \nabla^2 = -\frac{\hbar^2}{2m} \left( \frac{\partial^2}{\partial x^2} + \frac{\partial^2}{\partial y^2} + \frac{\partial^2}{\partial z^2} \right)$$

De mulige tilstandene  $\Psi$  med tilhørende energi  $E$  er bestemt av Schrödinger-ligningen:

$$-\frac{\hbar^2}{2m} \nabla^2 \Psi + E_p \Psi = E \Psi$$

(tidsuavhengig)

\* Kontinuerlig  $\Psi$  tilsvarer kontinuerlig sannsynlighetstetthet,  $g = |\Psi|^2$

Kontinuerlig  $\frac{\partial \Psi}{\partial x}$  tilsvarer kontinuerlig sannsynlighetsstrømtetthet,  
 $j_x = \frac{\hbar}{2mi} \left( \Psi \frac{d\Psi}{dx} - \frac{d\Psi^*}{dx} \Psi \right)$

Disse størrelsene oppfyller en kontinuitetsligning:  $\frac{\partial g}{\partial t} + \frac{d j_x}{dx} = 0$   
 (i 3 dimensjoner:  $\frac{\partial g}{\partial t} + \nabla \cdot \vec{j} = 0$ )

Enkelt (men relevant) eksempel:

Partikkelen i konstant potensial,  $E_p = \text{konstant}$ , i området mellom  $x=0$  og  $x=L$

Dvs: Fritt elektron i fast stoff med lengde  $L$ , ikke klassisk elektron men kvantemekanisk.

- Elektron avgrenset til  $x \in [0, L]$   
 $\Rightarrow E_p = \infty$  utenfor  $[0, L]$
- Nullnivå for  $E_p$  uten betydning  
 $\Rightarrow$  velger  $E_p = 0$  i  $[0, L]$  ( $\Rightarrow$  kinetisk energi = total energi)
- I tre dimensjoner:  $\Psi(x, y, z) = X(x) \cdot Y(y) \cdot Z(z)$   
men anta én dimensjon først, dvs  $\Psi = \Psi(x)$
- Null sannsynlighet for å finne elektronet utenfor  $[0, L]$
- Må ha kontinuerlig  $\Psi(x)$  [og  $\frac{d\Psi}{dx}$ ] overalt

Dermed:

$$-\frac{\hbar^2}{2m} \frac{d^2}{dx^2} \Psi(x) = E \Psi(x) \quad (\text{for } 0 \leq x \leq L)$$

$$\Psi(0) = \Psi(L) = 0 \quad (\text{grensebetingelser})$$

Løsning:

$$\text{Innfor } k^2 = \frac{2mE}{\hbar^2} \Rightarrow \Psi'' + k^2 \Psi = 0$$

$$\Rightarrow \Psi \sim e^{ikx} \quad \text{eller} \quad \Psi \sim e^{-ikx}$$

$$\text{Generell løsning: } \Psi(x) = A e^{ikx} + B e^{-ikx}$$

$$\Psi(0) = 0 = A + B \Rightarrow B = -A \Rightarrow \Psi(x) = A(e^{ikx} - e^{-ikx}) = C \sin kx$$

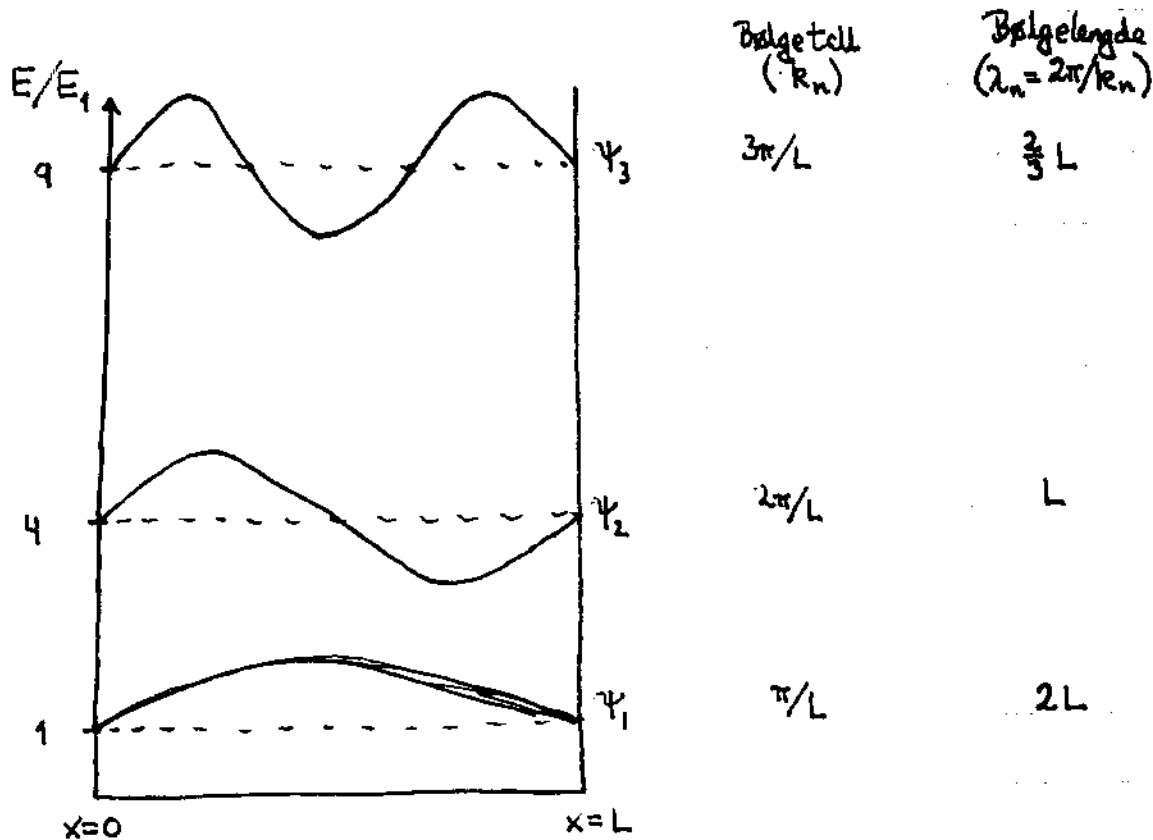
$$\Psi(L) = 0 = C \sin kL \Rightarrow kL = n\pi \quad (n=1, 2, 3, \dots)$$

Diskrete (kvantiserte) energier:

$$E_n = \frac{\hbar^2 k^2}{2m} = \frac{\hbar^2}{2m} \left(\frac{n\pi}{L}\right)^2 = \frac{\hbar^2 \pi^2}{2m L^2} n^2 \quad n=1, 2, 3, \dots$$

Tilhørende bølgefunksjon: ("Normering":  $\int_0^L |\psi_n(x)|^2 dx = 1$ )

$$\psi_n(x) = \sqrt{\frac{2}{L}} \sin \frac{n\pi x}{L} \quad (\text{"st  ende b  lger"})$$



Hit 19-02-03

I fast stoff: Mange elektroner!

26-02-03 Hvor mange elektroner i hver tilstand?

Pauli-prinsippet:

Ikke mer enn ett elektron  
i hver tilstand

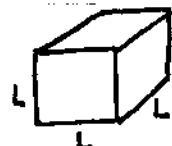
(Generelt: Fermioner (elektron, proton...): 0 eller 1 pr tilstand )  
(Bosoner (fotoner, "He...."): 0, 1, 2, ... pr tilstand )

Tre-dimensjonalt materiale med  $N$  frie elektroner:  
["Partikkelen i boks", A&F 37.5]

Fra i høst (A&F 23.7): Elektronet har spinn (dvs "indre dreieimpuls")  $\vec{S}$ , med  $S = |\vec{S}| = \sqrt{s(s+1)} \hbar = \sqrt{\frac{3}{4}} \hbar$  (dvs  $s = \frac{1}{2}$ ) og  $S_z = m_s \hbar = \pm \frac{1}{2} \hbar$  (dvs  $m_s = \pm \frac{1}{2}$ ).

Dvs: To mulige spinn-verdier for hver "posisjons-tilstand". Beskrives med spinn-bolgefunksjon  $\chi(\sigma)$  der  $\sigma = +1$  (spinn "opp") eller  $\sigma = -1$  (spinn "ned")

Alt i alt:  $(0 \leq x \leq L, 0 \leq y \leq L, 0 \leq z \leq L)$



$$\Psi(x, y, z; \sigma) = X(x) Y(y) Z(z) \chi(\sigma)$$

$$= \left(\frac{2}{L}\right)^{3/2} \sin \frac{n_x \pi x}{L} \sin \frac{n_y \pi y}{L} \sin \frac{n_z \pi z}{L} \chi(\sigma)$$

$$\text{der } n_x = 1, 2, 3, \dots ; n_y = 1, 2, 3, \dots ; n_z = 1, 2, 3, \dots ; \sigma = \pm 1$$

Tilhørende energi:

$$E = \frac{\hbar^2 k^2}{2m} = \frac{\hbar^2}{2m} (k_x^2 + k_y^2 + k_z^2) = \frac{\hbar^2 \pi^2}{2m L^2} (n_x^2 + n_y^2 + n_z^2)$$

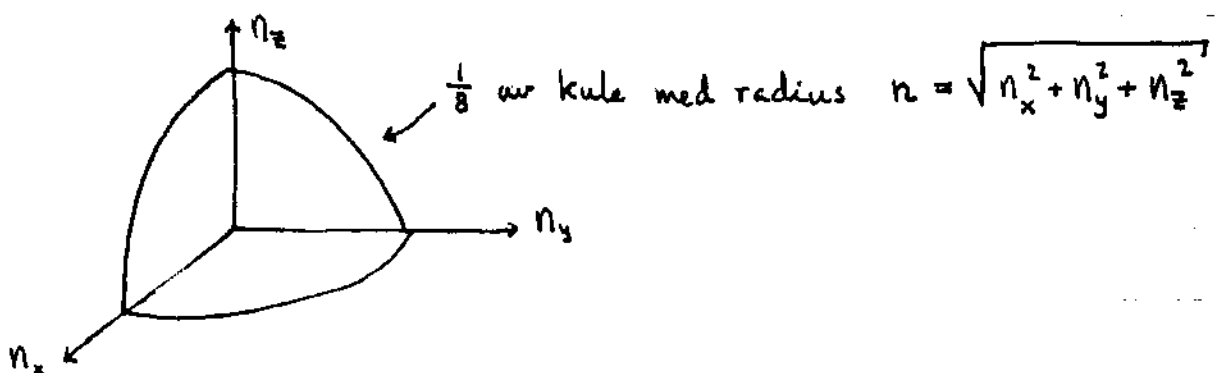
Fyller opp med  $N$  elektroner, bruker Pauli-prinsippet samt to mulige spinntilstander pr "romlig" tilstand.

$n_x$	$n_y$	$n_z$	$\frac{2mL^2 E}{\hbar^2 \pi^2}$	Amtall elektroner med samme $E$	Totalt antall elektroner
1	1	1	3	2	2
2	1	1	6	$2 \cdot 3 = 6$	8
1	2	1	6		
1	1	2	6		
2	2	1	9	$2 \cdot 3 = 6$	14
2	1	2	9		
1	2	2	9		
3	1	1	11	$2 \cdot 3 = 6$	20
1	3	1	11		
1	1	3	11		
2	2	2	12	2	22
3	2	1	14	$2 \cdot 6 = 12$	34
3	1	2	14		
2	3	1	14		
2	1	3	14		
1	3	2	14		
1	2	3	14		

Makroskopisk system  $\Rightarrow$  stor  $L \Rightarrow$  liten avstand mellom energinivåene:  $\Delta E \approx \frac{\hbar^2 \pi^2}{2mL^2}$   
 $\Rightarrow$  tilnærmet kontinuerlig energi-spektrum

### Fermienergien

$\vec{n}$ -rommet ( $\vec{n} = (n_x, n_y, n_z)$ ):



- totall antall elektroner =  $N$
- 2 tilstander (pga spinn opp eller ned) pr "heltallspunkt" i  $n$ -rommet
- hvert heltallspunkt opptar volum = 1 i  $n$ -rommet
- volum av kule-oktant =  $\frac{1}{8} \cdot \frac{4}{3} \pi n^3 = \frac{1}{6} \pi (n_x^2 + n_y^2 + n_z^2)^{3/2}$

$$\Rightarrow \text{antall tilstander i kule-oktant} = 2 \cdot \frac{1}{6} \pi n^3$$

$$\Rightarrow \text{antall tilstander med energi mindre enn } \frac{\hbar^2 \pi^2}{2mL^2} n^2 = \\ \frac{1}{2} \cdot \frac{1}{6} \pi n^3$$

$$\text{Dermed: } N = \frac{1}{3} \pi n^3$$

Fermienergien  $E_F$  = maksimalenergien for besatte (evt: okkuperte) tilstander (ved  $T=0$ )

$$\text{Dermed: } E_F = \frac{\frac{e^2}{4} \pi^2}{2mL^2} n^2$$

$$\Rightarrow n = \frac{L}{\frac{e^2}{4} \pi} (2mE_F)^{1/2}$$

$$\Rightarrow N = \frac{\pi}{3} n^3 = \frac{\frac{e^2}{4} L^3}{3 \frac{e^2}{4} \pi^2} (2mE_F)^{3/2}$$

Systemets volum:  $V = L^3$

Tetthet av elektroner:  $g = N/V = N/L^3$

$$\Rightarrow g = \frac{1}{3 \frac{e^2}{4} \pi^2} (2mE_F)^{3/2} = \frac{(\frac{2m}{e^2} E_F)^{3/2}}{3 \pi^2}$$

$$\Rightarrow E_F = \frac{\frac{e^2}{4} \pi^2}{2m} (3\pi^2 g)^{2/3}$$

Fermienergi for "kvantegass" av frie elektroner med tetthet  $g$

Dette er grunntilstanden, dvs forholdene ved  $T=0$ :

Alle elektroner i tilstander med lavest mulig energi.

Hva skjer ved endelig temperatur  $T > 0$ ?

Ionegitteret vibrerer og kan tilføre elektronene termisk energi via kollisjoner:

$$\Delta E_{\text{term}} \sim k_B T$$

$$(k_B = \text{Boltzmanns konstant} = 1.38 \cdot 10^{-23} \text{ J/K})$$

Eks: Ved romtemperatur er  $T \approx 300 \text{ K}$

$$\Rightarrow \Delta E_{\text{term}} \sim 4 \cdot 10^{-21} \text{ J} \sim 26 \text{ meV}$$

hit 26/02/03  
(+ s. 34)

Hjem fra 5/3/03 Kan alle elektronene "eksiteres"?

Forsyntning: Må ha ledig tilstand å eksiteres til!  
(pga Pauliprinsippet)

Typiske Fermiennergier i metaller:

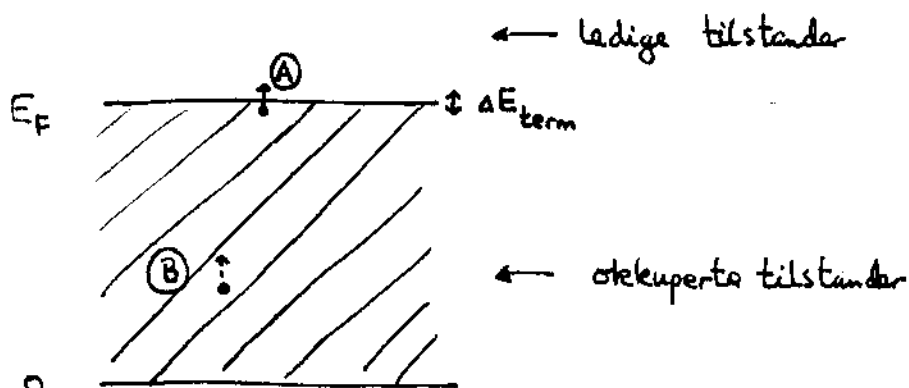
$$g = V/V \sim 10^{24} \text{ pr m}^3$$

$$\Rightarrow E_F = \frac{\hbar^2}{2m} (3\pi^2 g)^{2/3} \sim \frac{(1.05 \cdot 10^{-34})^2}{2 \cdot 9.1 \cdot 10^{-31}} \cdot (3\pi^2 \cdot 10^{24})^{2/3} \text{ J}$$

$$\sim 10^{-18} \text{ J} \sim 8 \text{ eV}$$

[Fermitemperatur:  $T_F = E_F/k_B$  Typisk:  $T_F \sim 10^4 - 10^5 \text{ K}$ ]

$\Rightarrow E_F \gg \Delta E_{\text{term}}$  ved romtemperatur

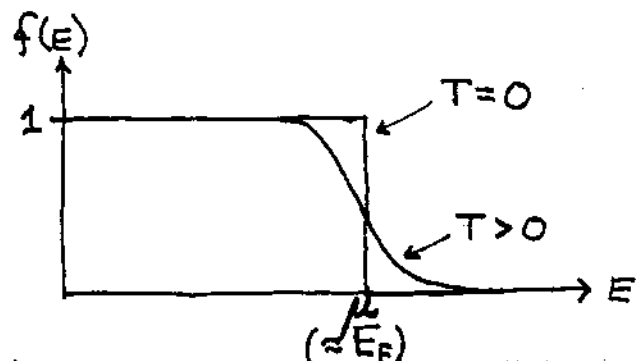


$\Rightarrow$  termisk eksitasjon A mulig  
 $\qquad\qquad\qquad$  B umulig

$\Rightarrow$  Kun elektroner med  $E \approx E_F$  kan eksiteres termisk

Sannsynlighet for at tilstand med energi  $E$  er  
okkupert ved temperatur  $T$ :

$$f(E) = \frac{1}{e^{(E-\mu)/k_B T} + 1}$$



Fermi-Dirac-fordelingen  
(gjelder for fermioner)

$$\mu(0) = E_F$$

$$\mu = \text{kjemisk potensial}^4$$

→ s 35

Denne  
side tas  
av mot side  
32

Tatt 26/2/03

### Tetthet av tilstander

Vi hadde:

$$N = \frac{V}{3\hbar^3 \pi^2} (2mE_F)^{3/2}$$

antall elektroner

systemets volum

↑ max energi for delteparte  
tilstander

Generelt:

$$N(E) = \frac{V}{3\hbar^3 \pi^2} (2mE)^{3/2}$$

= antall tilstander mellom 0 og E

Definerer  $D(E)$  = antall tilstander pr energienhet  
(dvs: tilstandstetthet)

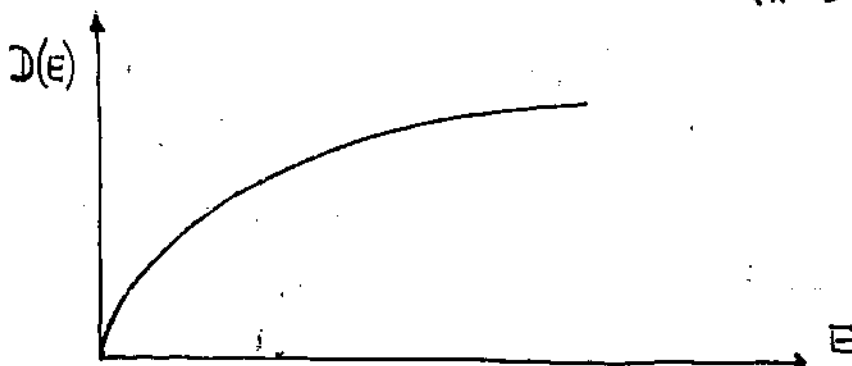
$\Rightarrow D(E)dE$  = antall tilstander mellom E og  $E+dE$

$$\Rightarrow N(E) = \int_0^E D(E') dE'$$

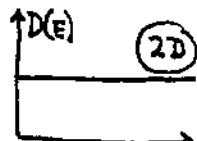
$$\Rightarrow \frac{dN}{dE} = \frac{d}{dE} \int_0^E D(E') dE' = D(E)$$

$$\Rightarrow D(E) = \frac{V}{2\hbar^3 \pi^2} (2m)^{3/2} E^{1/2}$$

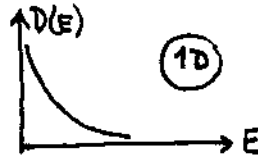
Tilstandstetthet for  
frie elektroner  
(i 3 dimensjoner)



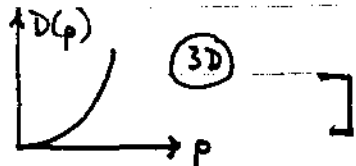
[Øving 6:



(2D)



(1D)



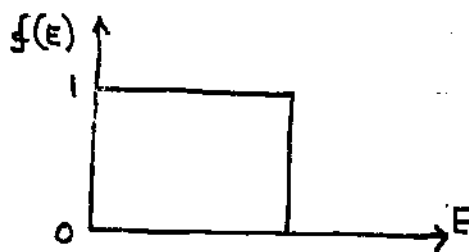
(3D)

Klassisk tenkning :  $U(T) \approx \frac{3}{2} N k_B T \Rightarrow C_V^{\text{klass.}} = \frac{3}{2} N k_B$  avhengig av T  
 [Alle N elektroner tilføres energi  $\sim k_B T$ ]

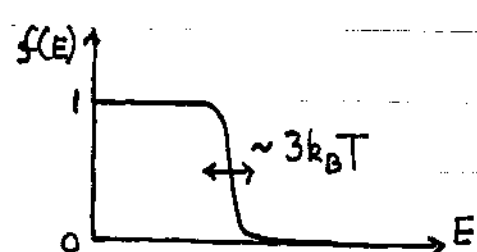
Eksperimentene kan bare forklares ved hjelp av Pauli-prinsippet og  
Fermi-Dirac-fordelingen : Kun en andel  $\sim T/T_F$  kan tilføres  
 energi  $\sim k_B T$  og dermed bidre til  $C_V$

Fordeling av elektronene ved  $T=0$  og  $T>0$ :

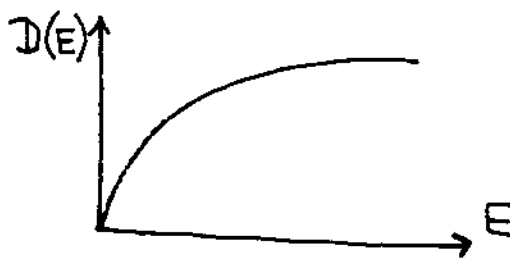
$T=0$



$T>0$



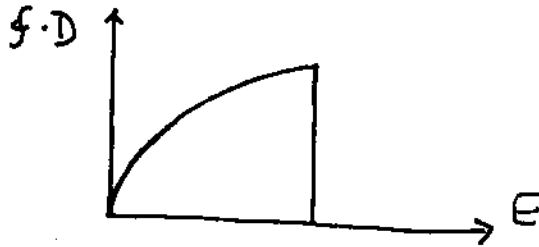
$D(E)$



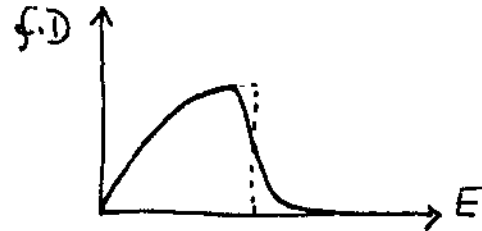
$D(E)$



$f \cdot D$



$f \cdot D$



$f(\epsilon) \cdot D(\epsilon) =$  middlere antall elektroner pr energienhet

$$(\Rightarrow N = \int_0^{\infty} f(\epsilon) \cdot D(\epsilon) \cdot d\epsilon)$$

Eksempel: Elektronenes varmekapasitet  $C_V$  i metall for små  $T$

$U =$  indre energi

$$U(T) - U(0) \approx k_B T \cdot D(E_F) \cdot k_B T \sim T^2$$

$$\Rightarrow C_V = \left( \frac{\partial U}{\partial T} \right)_V \sim T$$

$$\text{Gitterbidraget} \sim T^3 \Rightarrow C_V^{\text{tot}} = \alpha T + \beta T^3$$

